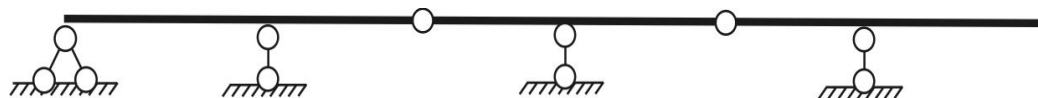
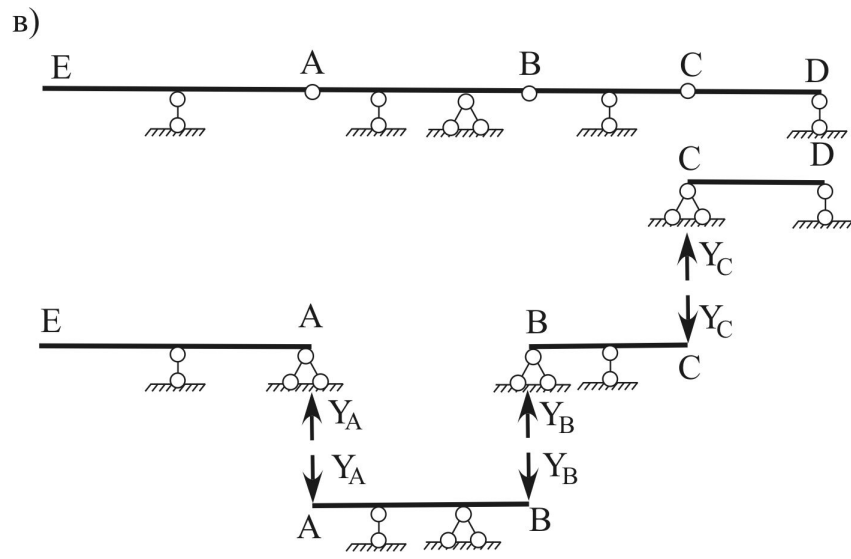
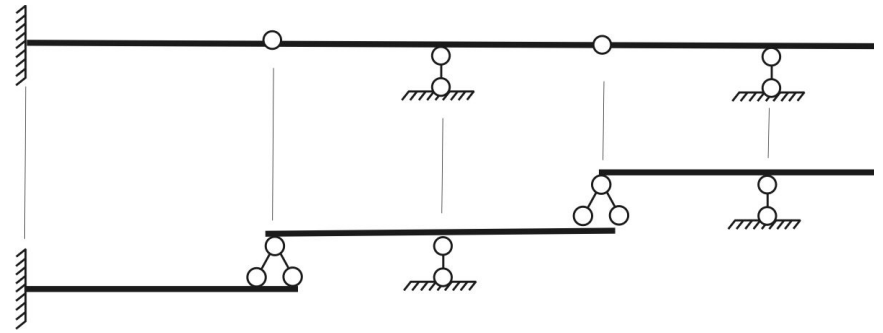
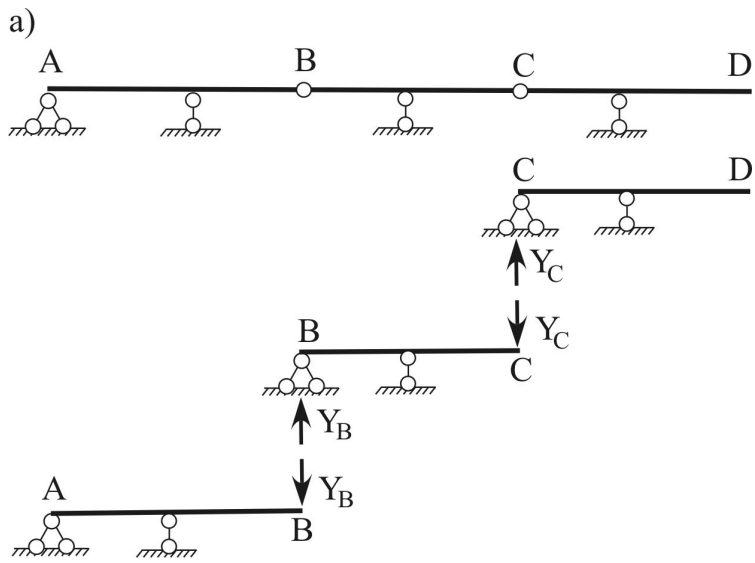


## ШАРНИРНЫЕ СТАТИЧЕСКИ ОПРЕДЕЛИМЫЕ БАЛКИ

При проектировании перекрытия нескольких пролетов могут быть задействованы расчетные схемы шарнирных балок. Шарнирными называют балки, составленные из двух и более последовательно расположенных балок, концы которых связаны между собой цилиндрическими шарнирами.



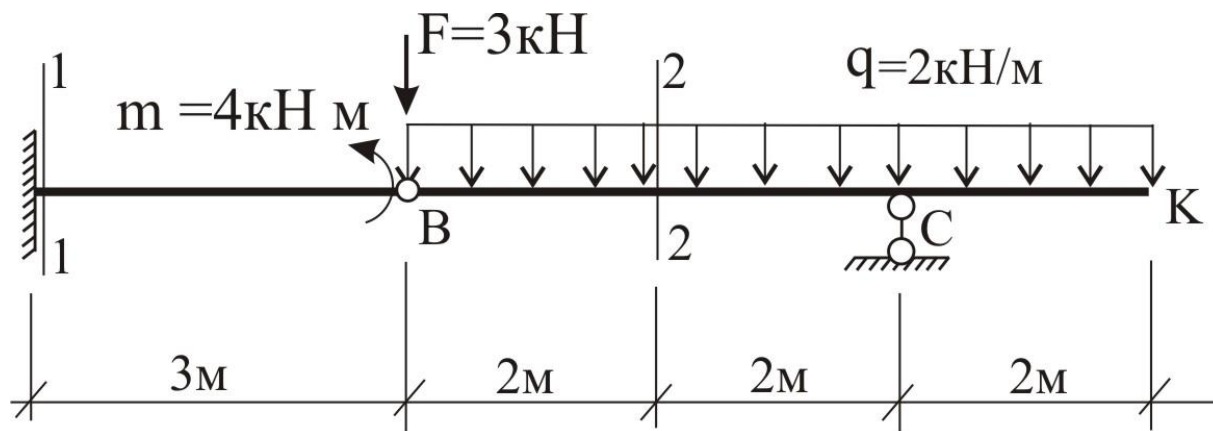
При проведении кинематического анализа и расчете многопролетной шарнирной балки полезно выделять ее основные (главные) и второстепенные (подвесные или дополнительные) части. Основными называют балки, которые сохраняют свою неподвижность по отношению к земле после устранения шарниров, объединяющих отдельные балки в одну, то есть основная балка является несущей. Второстепенные части балки прикреплены к основной шарнирами и от нее заимствуют свою неподвижность. Расчет шарнирных многопролетных балок производят в порядке обратном их образованию, то есть от второстепенных к основным.



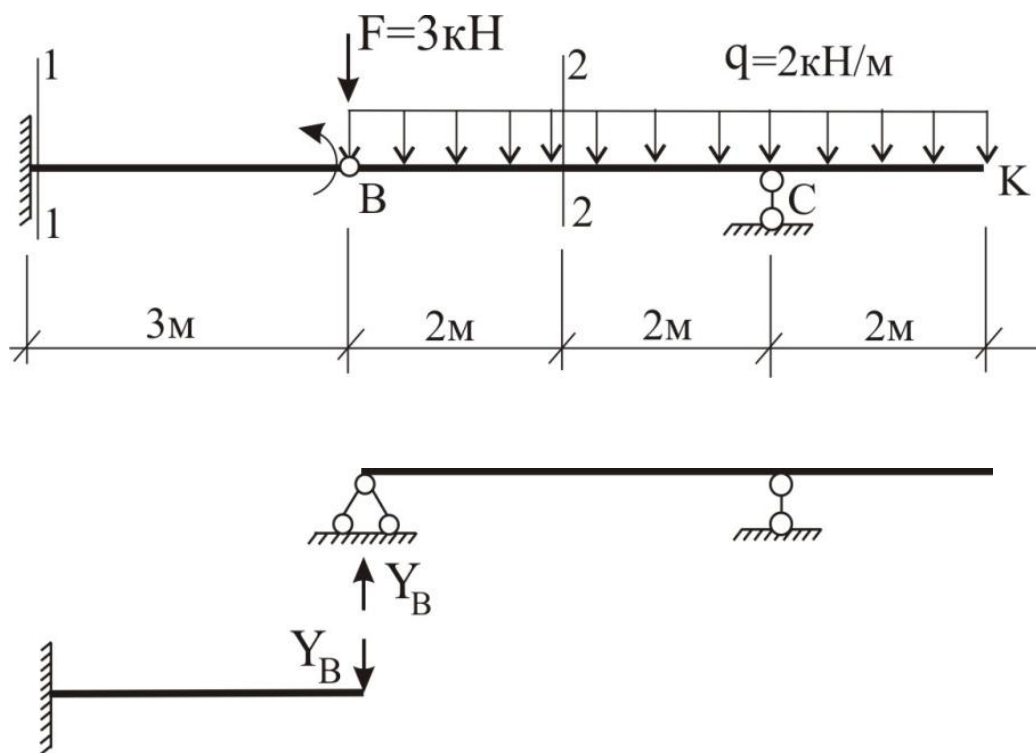
Для данной балки требуется:

1. Построить эпюры  $Q, M$ ;
2. Построить и загрузить линии влияния  $Y_C, Q_1, Q_2, M_1, M_2$
3. Определить  $V_K, \theta_B$

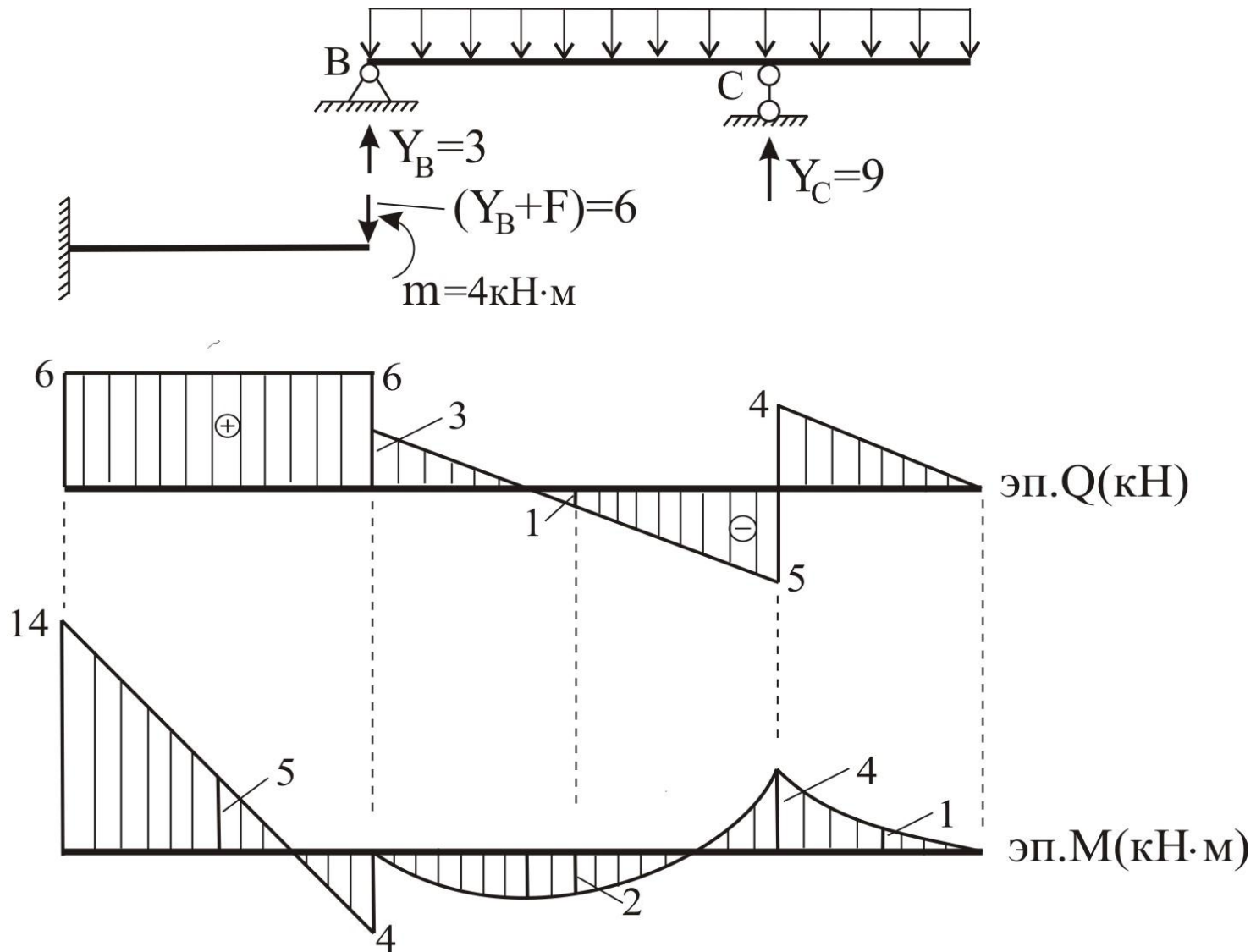
$$EI = \text{const}$$



Строим поэтажную схему балки



# 1. Построение эюр Q, M



Если  $X$  величина какого-либо усилия ( $N$ ,  $Q$ ,  $M$ ) или перемещения в определенном месте сооружения, то **линией влияния**  $X$  называют график ее зависимости от « $x$ » – координаты местоположения движущейся по сооружению и сохраняющей постоянное направление единичной силы  $F=1$ . Другими словами, линия влияния представляет собой диаграмму, при построении которой функцией является исследуемая величина усилия или перемещения, а независимой переменной – координата точки приложения подвижного груза  $F=1$ . Каждая ордината линии влияния, представленной в виде эпюры по длине сооружения, численно равна значению изучаемой величины при положении в этом месте груза  $F=1$ .

Отметим следующие характерные особенности построения линий влияния усилий кинематическим способом:

- 1) мысленно устраняем связь, препятствующую рассматриваемому усилию совершить работу. Получаем механизм с одной степенью свободы. Действие отброшенной связи заменяем соответствующим положительно направленным усилием  $X$ ;
- 2) сообщаем этому механизму возможное перемещение таким образом, чтобы сила  $X$  совершала положительную работу на перемещении  $\delta_x$ . В результате приходим к эпюре возможных перемещений;
- 3) Линия влияния совпадает с эпюрой возможных перемещений, если ее измерять в масштабе, для которого  $\delta_x = 1$ . Ординаты линии влияния, оказавшиеся выше оси отсчета, считаются положительными, и – наоборот.

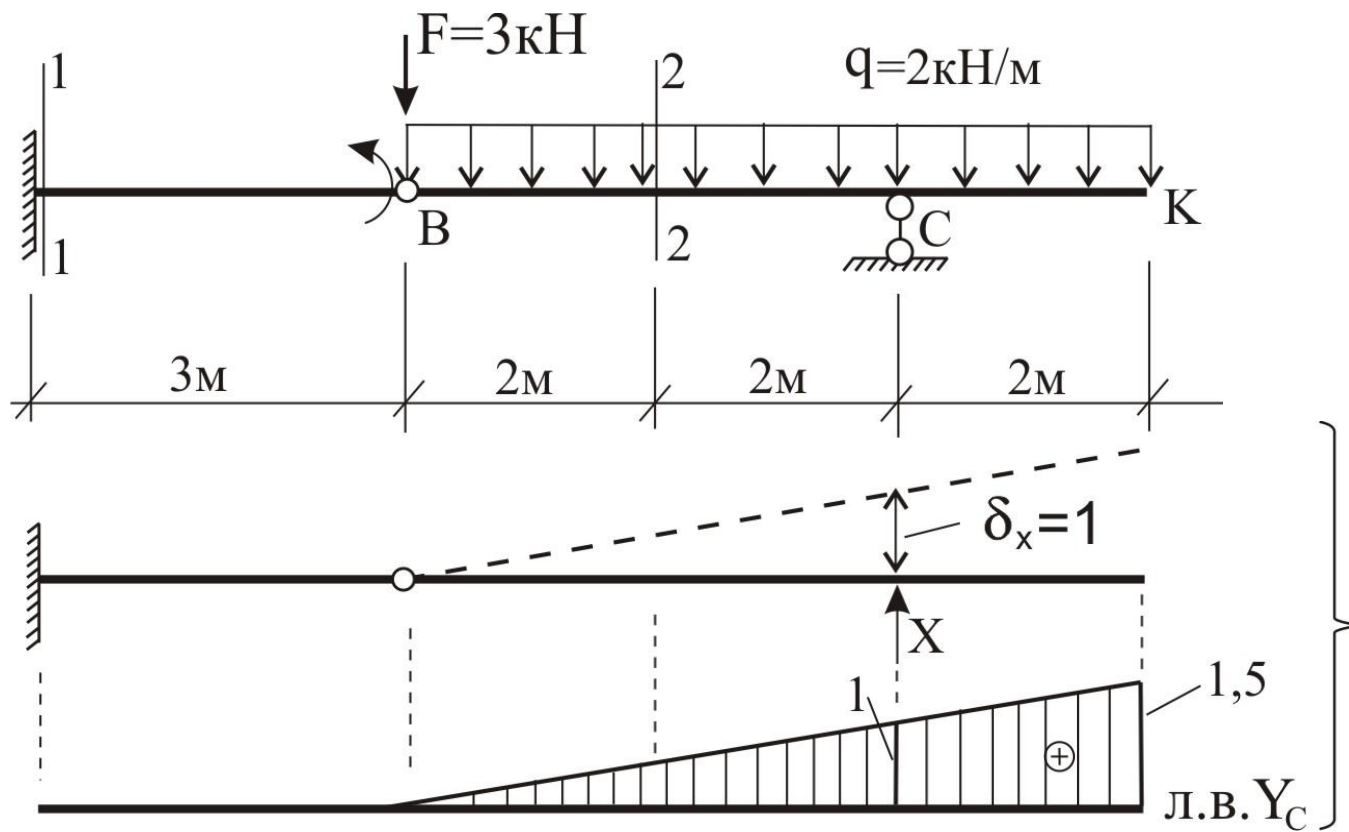
Наличие линии влияния позволяет определять соответствующую характеристику сооружения для различных вариантов силового воздействия. Делают это путем, так называемого, загружения линии влияния.

$$X = \sum_i F_i \cdot y_i + \sum_j q_j \cdot \omega_j + \sum_k M_k \cdot \operatorname{tg} \alpha_k$$

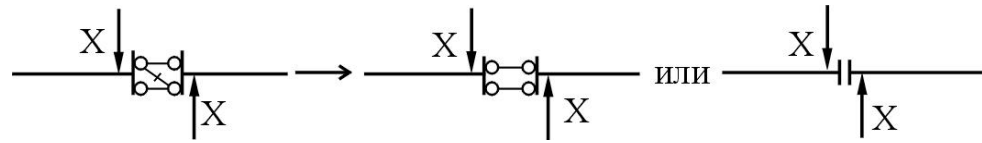
Нагрузки  $F$  и  $q$  следует считать положительными, если их направление совпадает с направлением единичного подвижного груза  $F = 1$ . Полагаем, что момент  $m > 0$ , если он вращает по ходу часовой стрелки. Знаки « $y$ » и  $\omega$  следует брать согласно знаков л.в.  $X$ . Знак  $\operatorname{tg} \alpha$  определен знаком производной  $dy/dx$ .

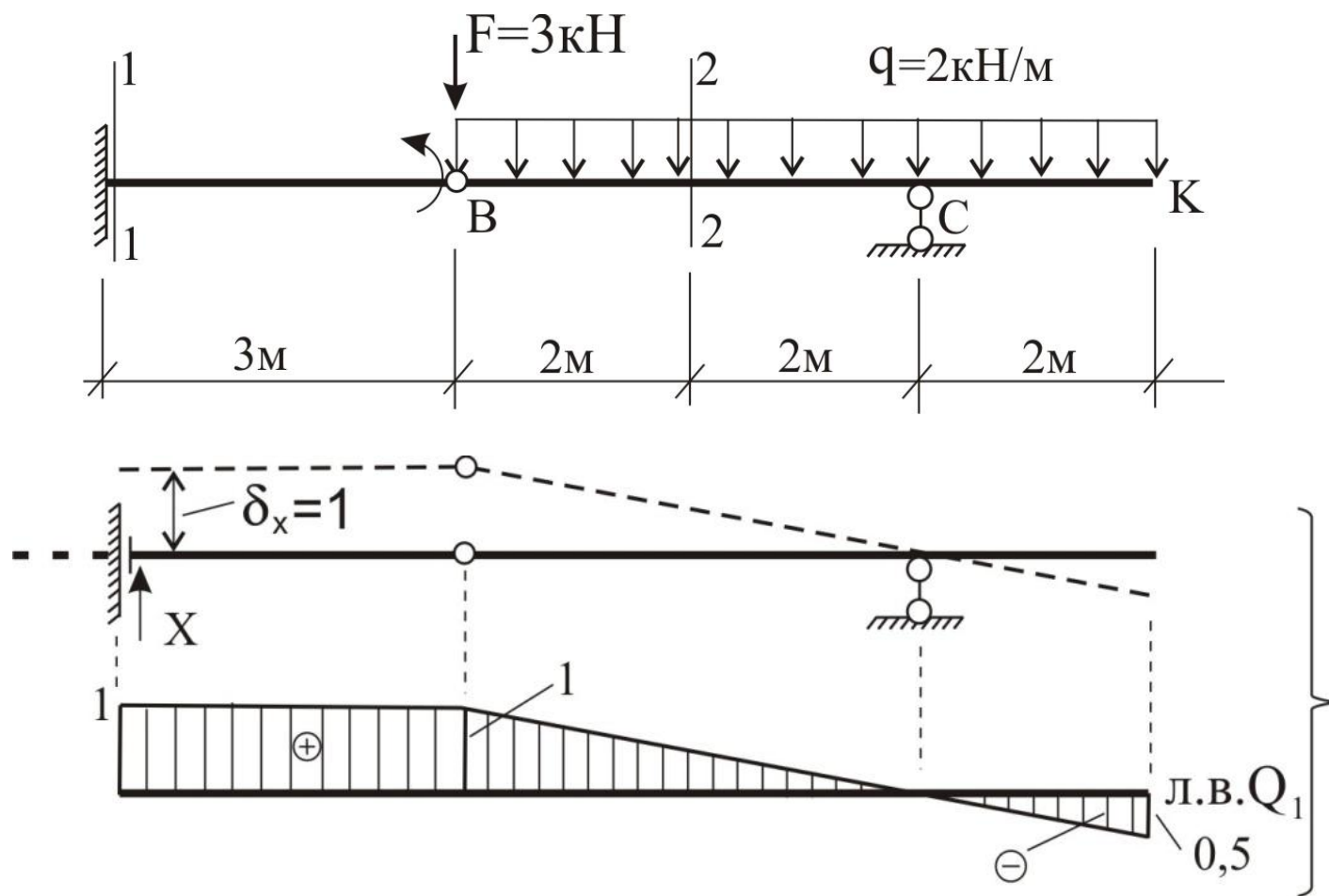


## 2. Построение и загрузка линий влияния

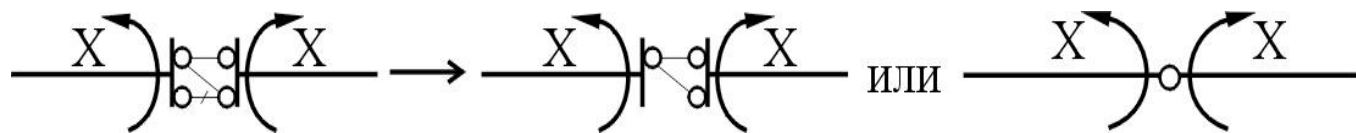


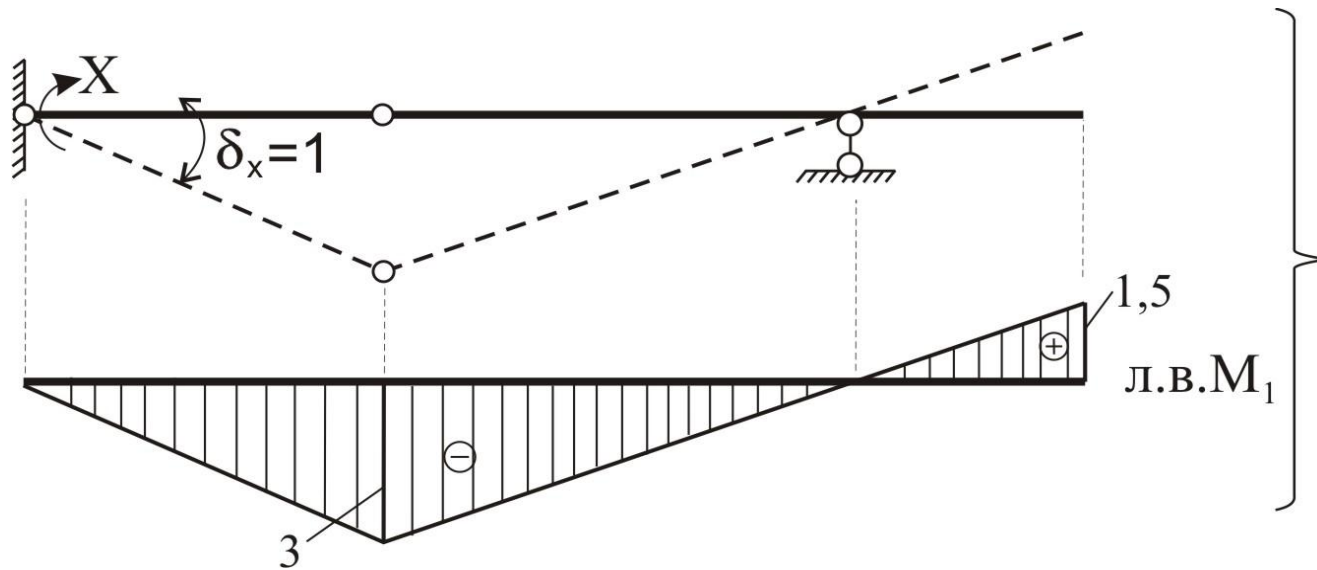
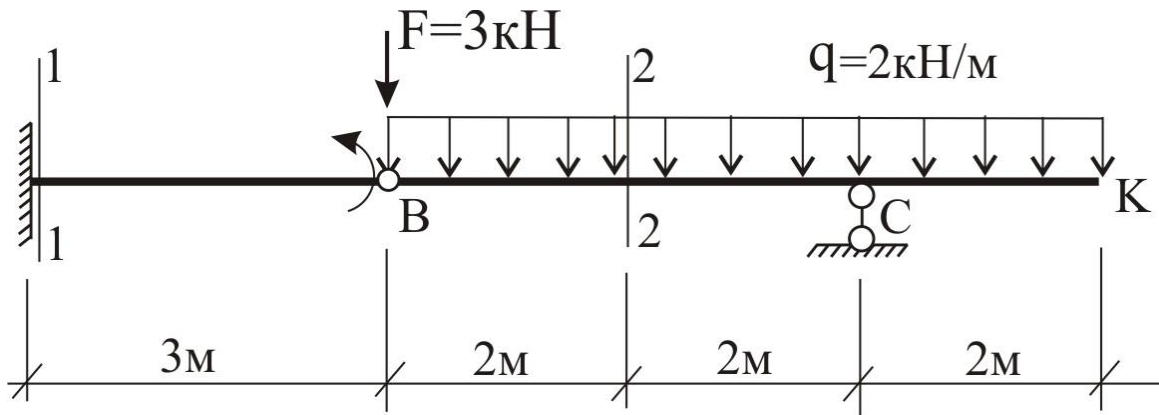
$$Y_C = 2 \cdot \frac{1.5 \cdot 6}{2} = 9 \text{ кН},$$



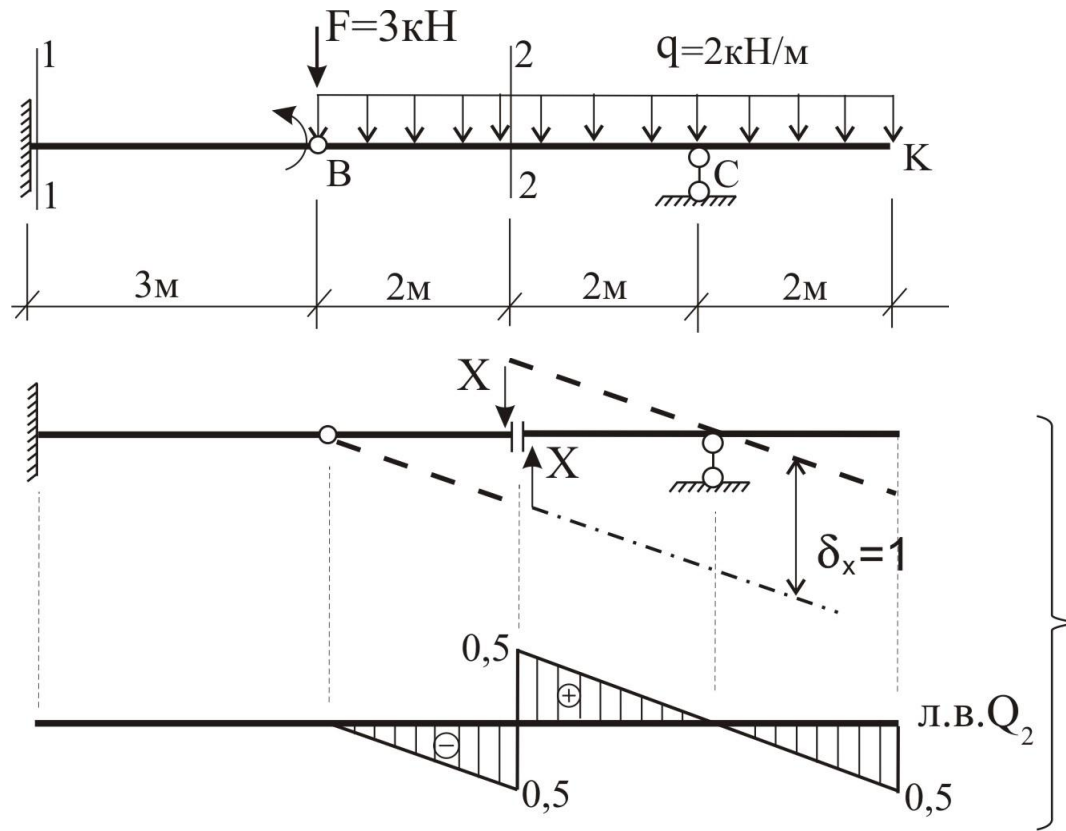


$$Q_1 = 3 \cdot 1 + 2 \cdot \frac{1 - 0.5}{2} \cdot 6 = 6 \text{кН},$$

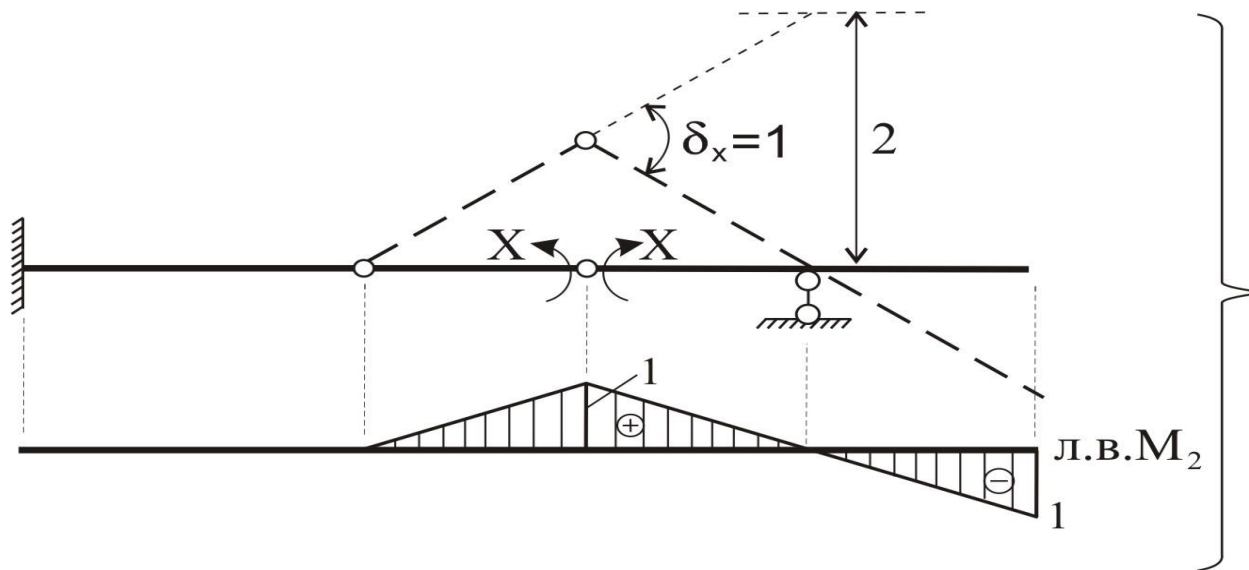
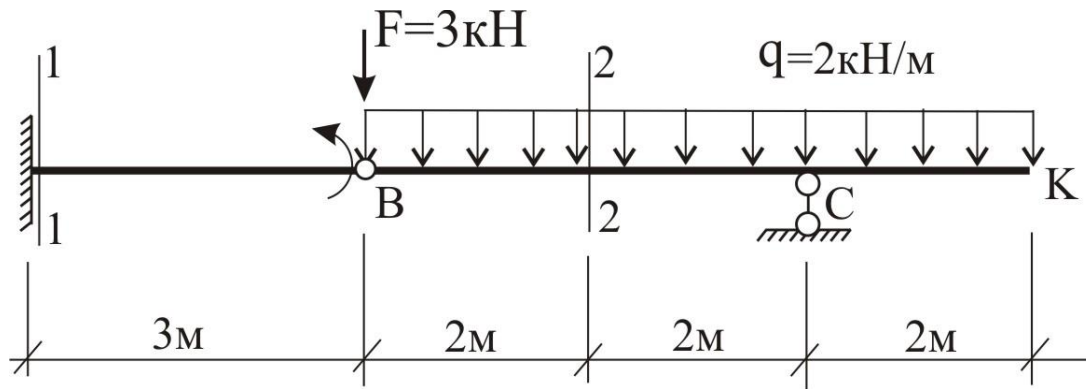




$$M_1 = -4 \cdot \left( -\frac{3}{3} \right) - 3 \cdot 3 + 2 \cdot \left( -\frac{3-1.5}{2} \right) \cdot 6 = -14 \text{кН} \cdot \text{м},$$



$$Q_2 = -2 \cdot \frac{0.5 \cdot 2}{2} = -1.0\text{кН},$$



$$M_2 = 2 \cdot \left( \frac{1 \cdot 2}{2} \right) = 2\text{кН} \cdot \text{м}.$$

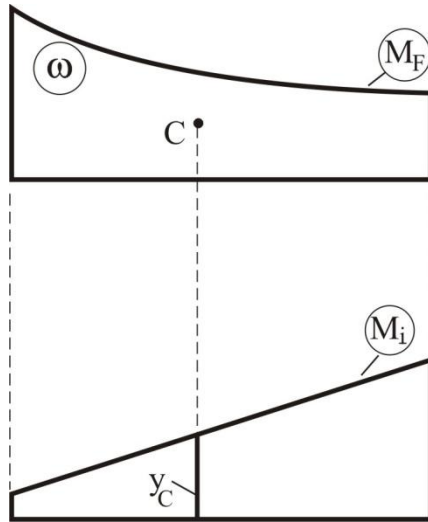
### 3. Определение перемещений

#### ИНТЕГРАЛ МОРА

$$\Delta_i = \sum \int \frac{M_i M}{EI} dx$$

правило Верещагина

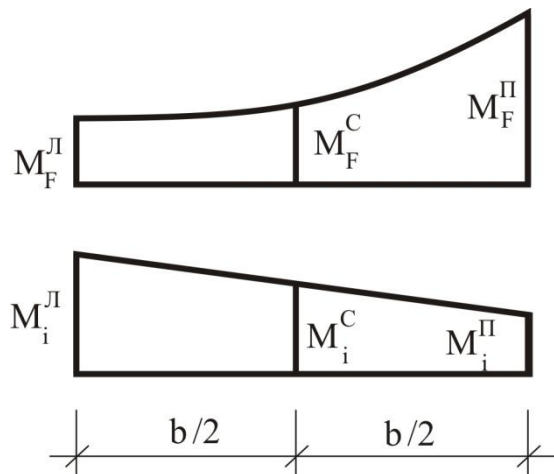
$$\int \frac{M_i M_F}{EI} dx = \frac{\omega \cdot y_c}{EI}$$



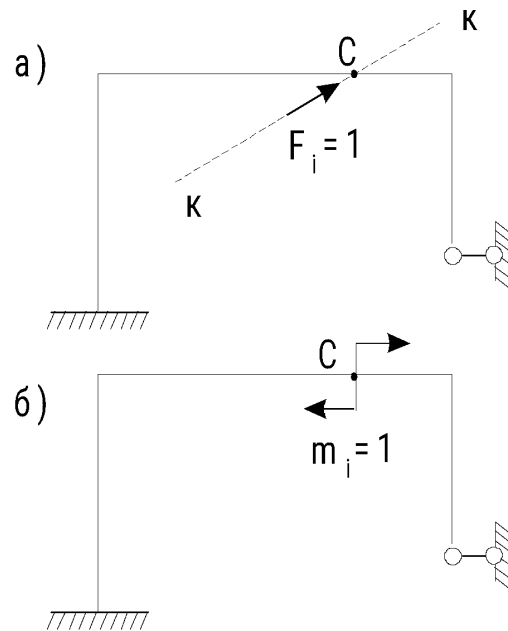
формула Симпсона

$$\int \frac{M_i M_F}{EI} dx =$$

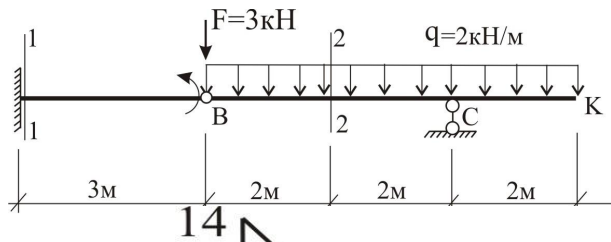
$$= \frac{1}{EI} \cdot \frac{b}{6} (M_i^L M_F^L + 4M_i^C M_F^C + M_i^П M_F^П)$$





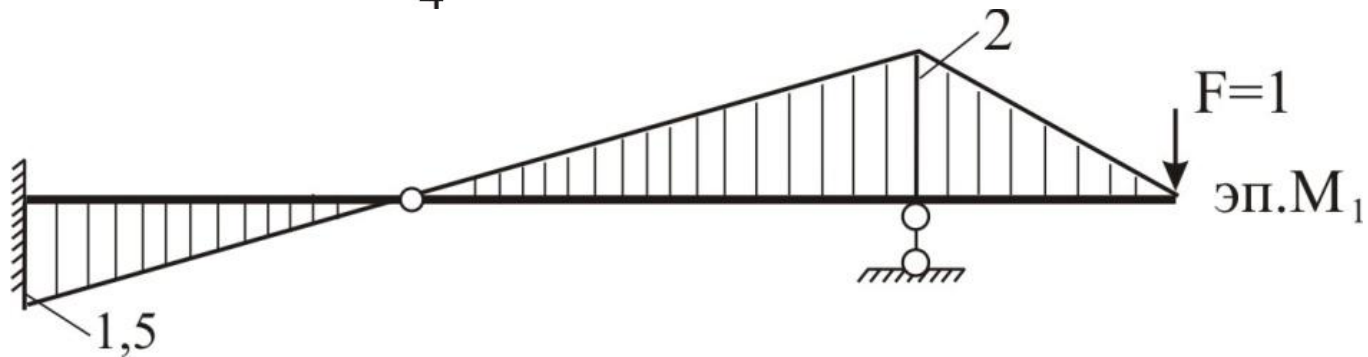
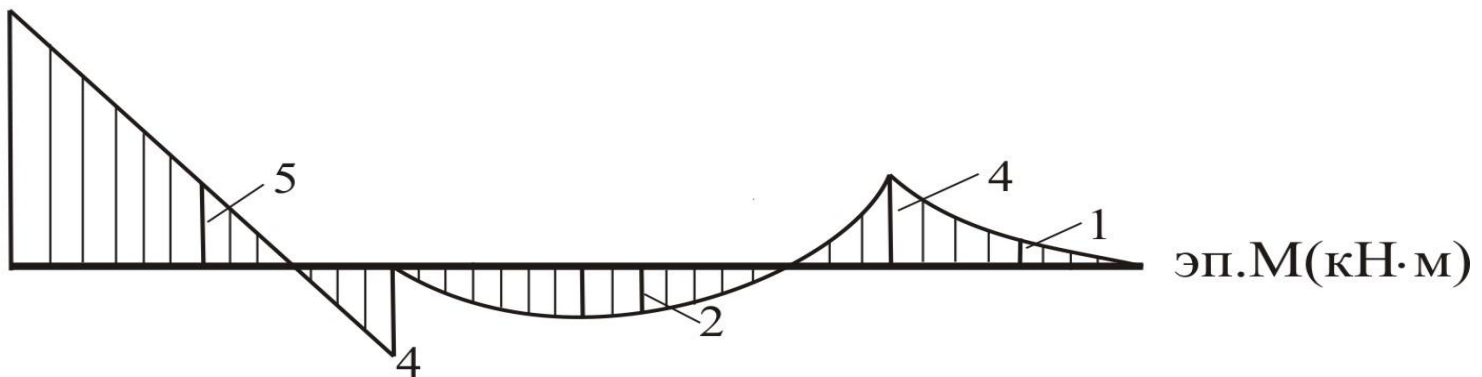


Выбор фиктивного (единичного) состояния обусловлен видом искомого перемещения. Так, например, при определении линейного перемещения точки С оси рамы в направлении "к-к" соответствующим фиктивным состоянием является рама с приложенной в этой точке силой  $F_i = 1$  с линией действия по "к-к", а при определении угла поворота оси стержня в сечении С - прикладывается пара с моментом  $m_i = 1$ .



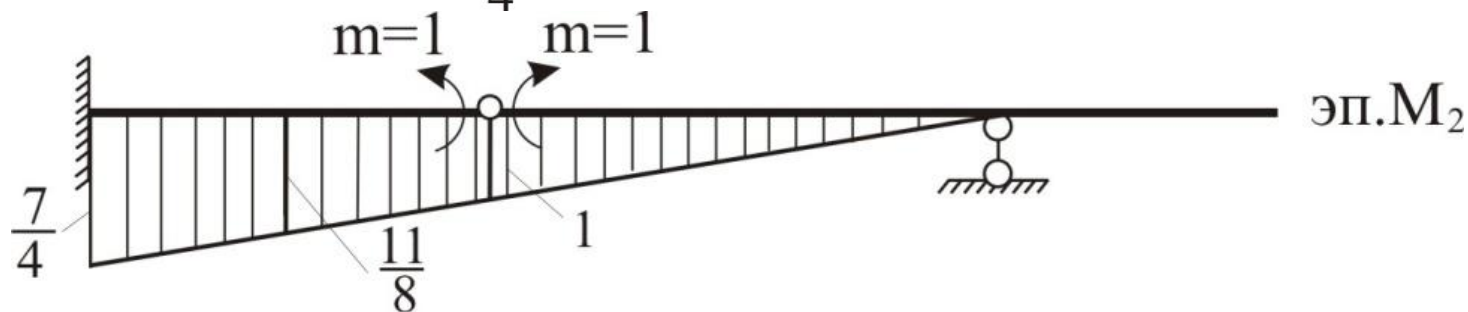
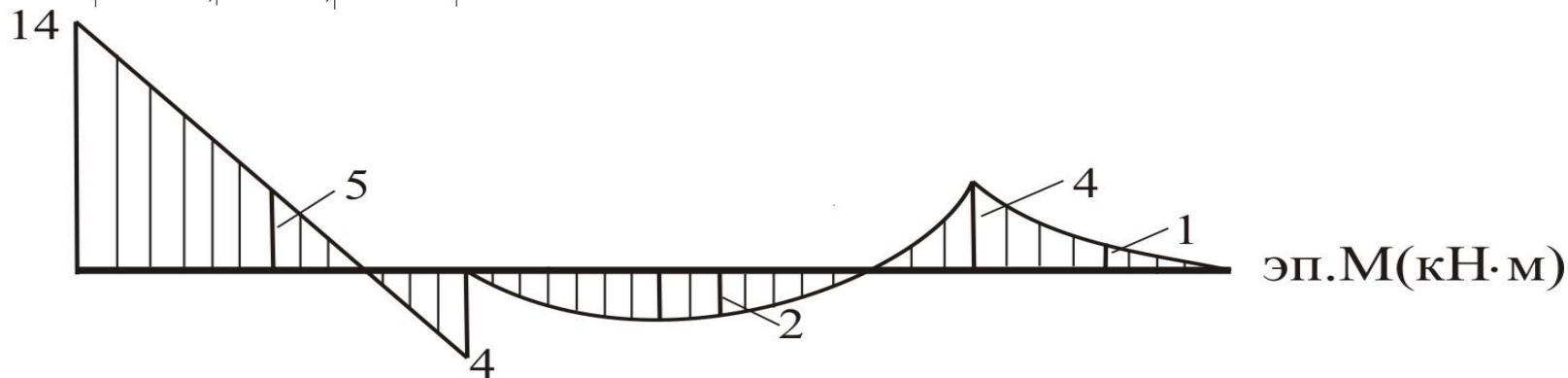
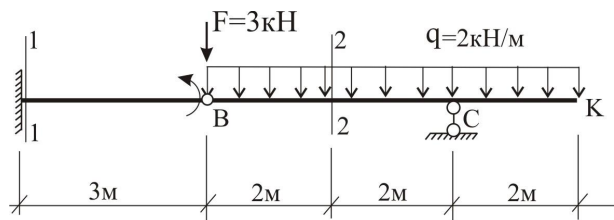
### 3. Определение перемещений

$$\Delta_i = \sum \frac{M_i M}{EI} dx$$



$$v_K = \Delta_1 = \sum \int \frac{M_1 M}{EI} dx = \frac{1}{EI} \left[ \frac{3}{6} (-14 \cdot 1.5 - 4 \cdot 5 \cdot 0.75 + 0) \right] -$$

$$- \frac{1}{EI} \left[ \frac{4}{6} (0 + 4 \cdot 2 \cdot 1 + 4 \cdot 2) + \frac{2}{6} (4 \cdot 2 + 4 \cdot 1 \cdot 1 + 0) \right] \approx - \frac{24.7}{EI}$$



$$\theta_B = \Delta_2 = \sum \int \frac{M_2 M}{EI} dx = \frac{1}{EI} \left[ \frac{3}{6} \left( -14 \cdot \frac{7}{4} - 4 \cdot 5 \cdot \frac{11}{8} + 4 \cdot 1 \right) + \frac{4}{6} \left( 0 + 4 \cdot 2 \cdot \frac{1}{2} + 0 \right) \right] \approx -\frac{21.3}{EI}.$$